BL-13B/2024G573, 2021S2-003

PtTe₂上 C₆₀積層界面の光電子分光測定 Photoelectron Spectroscopy of the C₆₀ on PtTe₂ Interface

関内峻平¹, 菊地計秀¹, 香田達広¹, 服部寛之¹, 間瀬一彦^{2,3}, 小澤健一^{2,3}, Meng-Kai Lin⁴, 中山泰生¹

1東京理科大学 創域理工学部 先端化学科・大学院創域理工学研究科 先端化学専攻,

〒278-8510 千葉県野田市山崎 2641

²高エネルギー加速器研究機構 物質構造科学研究所 〒305-0801 茨城県つくば市大穂 1-1

3総合研究大学院大学, 〒305-0801 茨城県つくば市大穂 1-1

⁴國立中央大學, Zhongli District, Taoyuan City 320317, Taiwan (R. O. C.)
Shumpei SEKIUCHI¹, Kazuhide KIKUCHI¹, Tatsuhiro KODA¹, Hiroyuki HATTORI¹, Kazuhiko MASE^{2,3}, Kenichi OZAWA^{2,3}, Meng-Kai LIN⁴ and Yasuo NAKAYAMA¹

¹Department of Pure and Applied Chemistry, Tokyo University of Science

2641 Yamazaki, Noda, Chiba 278-8510, Japan

²Photon Factory, Institute of Materials Structure Science, High Energy Accelerator Research Organization 1-1 Oho, Tsukuba, Ibaraki 305-0801, Japan ³SOKENDAI (The Graduate University for Advanced Studies),

1-1 Oho, Tsukuba, Ibaraki 305-0801, Japan ⁴Department of Physics, National Central University, Zhongli District, Taoyuan City 320317, Taiwan (R. O. C.)

1 はじめに

二次元原子層材料は原子数層程度の厚みしか持た ない物質群である。その薄さや量子的、電子的、光 学的特性から注目を集めている[1,2]。二次元原子層 材料の一群として、遷移金属ダイカルコゲナイド (TMDs)[3]がある。この材料群はその名の通り遷移 金属(= M)とカルコゲン(= X)からなる、一般式 MX₂ で表される物質群である。二つのカルコゲン原子に 遷移金属が挟まれた X-M-X の形態の三原子で一層の 構造を形成する[2,3]。バルク TMDs 上に有機半導体 材料を積層する研究もなされており、例えば TMDs の一種である二硫化モリブデン上でフラーレン(C60) はエピタキシャル成長することが知られている[4]。 二次元 TMDs もバルク TMDs と同様に層の表面原子 は未結合手を持たないため、二次元TMDs上でもC60 はファンデルワールスエピタキシー[5]により、規則 的な結晶成長をすることが期待される。その際、基 板原子の欠陥や表面の不純物の存在により反応性の 高い点が生じていると理想的な結晶成長が阻害され る可能性があるため、清浄な基板表面を得ることも 重要と考えられる。

本研究では、PtTe₂原子層表面上において C₆₀を秩序だった結晶層として積層し、その積層界面における電子構造について検証を行う。PtTe₂結晶基板表面

の清浄さについては低速電子線回折測定と X 線光電子分光測定を組み合わせることで評価を行い、紫外光電子分光測定によって試料の仕事関数と価電子帯の構造評価を行った。

2 実験

既報[6]と同様に、グラフェン/SiC 基板上に 5 層 PtTe2 試料を作製した後、試料保護のため厚さ 10 nm の Te 層で被覆した。その試料を、KEK-フォトンフ ァクトリー(PF)、BL-13B 付属の超高真空槽において フィラメントからの傍熱加熱によって 155℃ - 185℃ で 5 分間加熱することで Te 保護層を除去した。な お、加熱開始前の真空度は 3.4 ×10 -10 Torr、加熱終 了時は 2.8×10^{-7} Torr であり、加熱時の試料温度は 放射温度計を用いて測定した。加熱後に PtTe2 表面 が露出していることは低速電子線回折(LEED)により 確認し、光電子分光測定により表面清浄性を確認し た。そのうえで、C60を超高真空中(到達真空度7.5× 10 ⁻⁸ Torr)で段階的に蒸着した。蒸着中の真空度は 1 × 10⁻⁶ Torr 未満に保たれており、蒸着速度は 10 pm/s 程度になるよう水晶振動子を用いて調整した。蒸着 前後のレートと蒸着時間から、試料の C60 膜厚は 0. 0.2, 0.4, 0.8, 1.6, 2.4, 4, 8, 20 nm と見積もられた。

光電子分光測定は KEK-PF、BL-13B 付属の SES200 ステーションにて行った。励起エネルギーhv は X線光電子分光 (XPS) 測定時は 1270 eV、紫外光電子分光 (UPS) 測定時は 120 eV とし、試料の真空準位は試料電圧-5 V 印加下における二次電子カットオフ(seco)位置から決定した。なお、アナライザーの仕事関数 ϕ_a を決定するため、励起エネルギー120 eV における 1, 3, 5 次光によるフェルミ準位の測定の結果を用いた。励起エネルギーhv の較正は、Au4 $f_{7/2}$ ピーク位置(結合エネルギー83.95 eV[7])、あるいはフェルミ準位位置によって行った。測定はすべて室温、超高真空下で行った。

3 結果および考察

PtTe₂ は六方晶系であり、面外方向は(0001)配向で結晶成長する[6]ため、最表面原子は六角形状に並ぶ。加熱により Te 保護層を除去した後の LEED 像(加速電圧 70.5 eV)を図 1 に示す。六角形状の LEED パターンが得られているため、最表面において分子が六角形状に配列していると考えられ、無秩序に配列している Te 層の除去が行われたことが見て取れる。

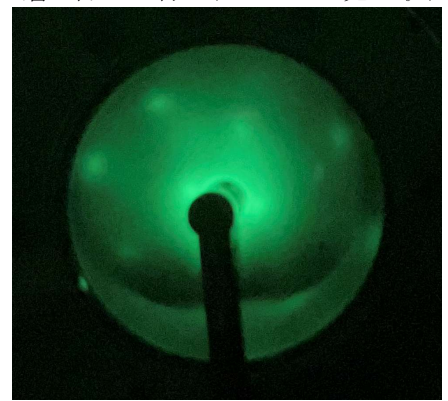


図 1: 加熱後の LEED 像(70.5 eV)

加熱前後における Te3d、O1s から Pt4p3/2、および Pt4f のエネルギー領域における XPS スペクトルを図 2、図3、および図4にそれぞれ示す。図2のTe3dス ペクトルでは、加熱前では二成分(青と緑のシェー ド)見られたピークが加熱後に一成分(青のシェード のみ)になっている。報告されている Te3d_{2/5} の結合 エネルギーは PtTe2 では 573 eV[8]、Te 単体では 573.20 eV[9]、TeO2 では 576.10 eV[10]であることか ら、青で示した成分は PtTe2 または Te 単体に由来し、 緑の成分はTeO2に由来すると帰属される。このこと から、観察されたスペクトル変化は、TeO2などを含 む表面のTe保護層が加熱によって除去されたことに 対応すると考えられる。図3において加熱前の試料 では結合エネルギー530.40 eV に見られる O1s ピーク [10]が加熱後に消滅していることも、TeO2の除去を 裏付けている。一方、加熱後の試料において近接す る結合エネルギー519.5 eV に見られるピークは Pt4p_{3/2}に帰属され[11]、図4にみられるPt4fピークの 大幅な増大と併せ、これらのスペクトル変化はTe保

護層が除去され $PtTe_2$ 表面が露出したことに対応する。

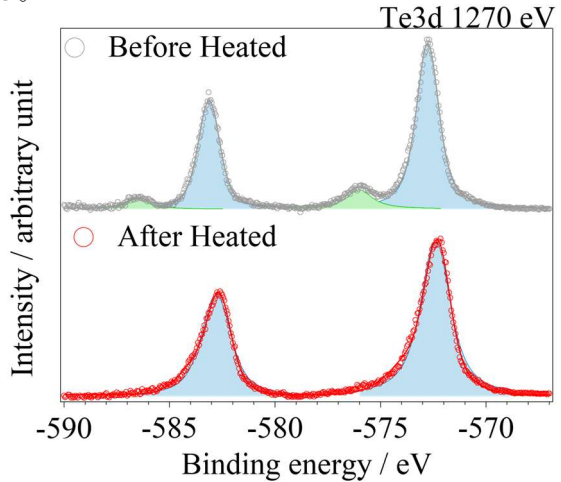


図 2: 加熱前後における Te3d XPS スペクトル変化

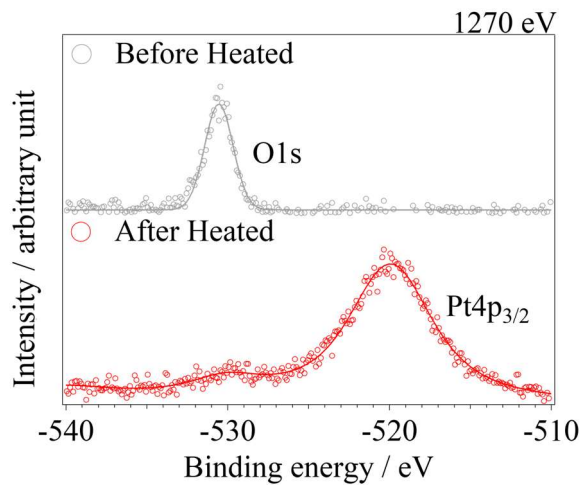


図 3: 加熱前後における O1s、Pt4p_{3/2} XPS スペクトル 変化

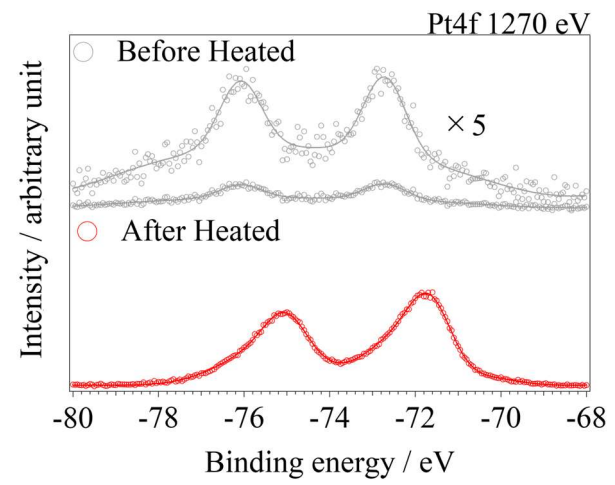


図 4: 加熱前後における Pt4f XPS スペクトル変化。 加熱前のスペクトルについては縦軸を 5 倍に拡大し たものを比較用に併せて提示している。

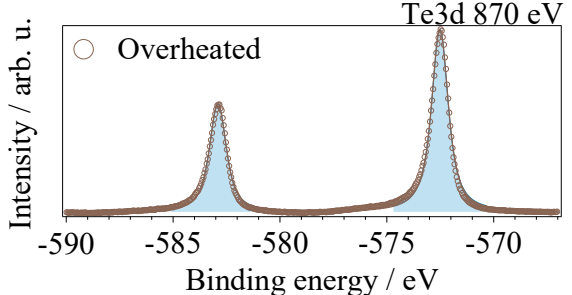


図 5: 過熱試料の Te3d XPS スペクトル

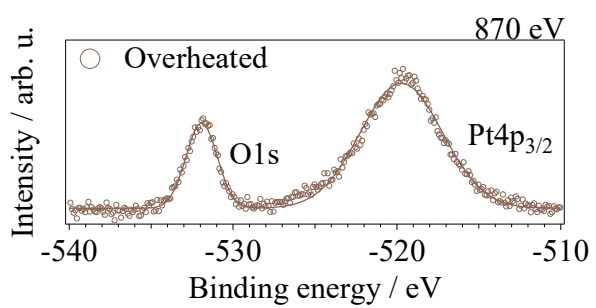


図 6: 過熱試料の O1s、Pt4p_{3/2} XPS スペクトル

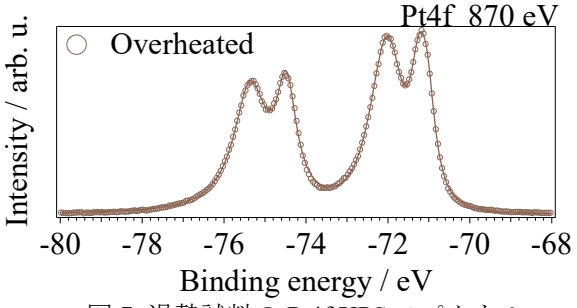


図 7: 過熱試料の Pt4f XPS スペクトル

励起光エネルギー120 eV で測定した、試料の seco 領域のスペクトルおよび価電子帯領域の UPS スペクトルをそれぞれ図 8 および図 9 に示す。 seco の立ち上がり位置は、膜厚 2.4 nm までは膜厚増加に伴って低エネルギー側へシフトし、膜厚 4 nm 以降では逆に高エネルギー側へ反転する。一方、C60 の最高被占有軌道(HOMO)由来のスペクトル構造は、膜厚 8 nm

までは深い方向へシフトしていくが、膜厚 20 nm においてはそれまでと反転した挙動がみられる。

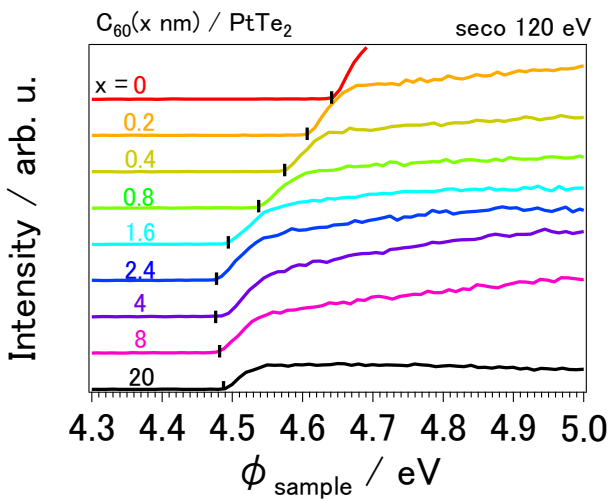


図 8: C60 膜厚に依存した seco スペクトルの変化

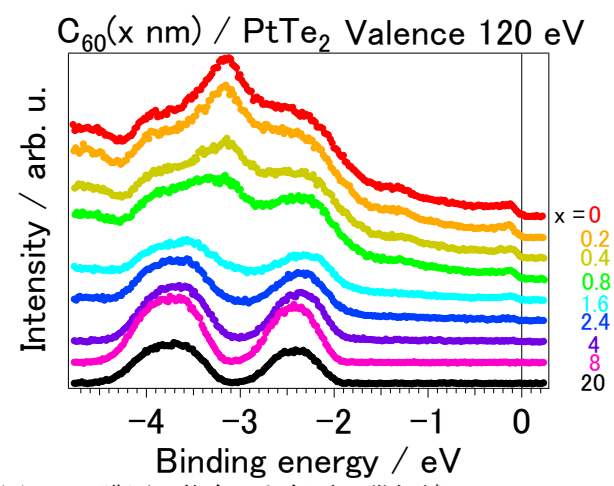


図 9: C₆₀膜厚に依存した価電子帯領域の UPS スペクトル変化

これらの測定結果から、膜厚に対する試料のエネ ルギーシフトを整理した図を、図10に示す。仕事関 数 Φsample は、PtTe2表面の値である 4.64 eV から膜厚 の増加に伴って低下し、膜厚 4 nm において最低値 4.48 eV をとった後、増加する方向に転じている。低 膜厚領域においては、PtTe2表面の電子雲に対して C60 が接近することにより電子雲が押し戻されるプ ッシュバック効果[13]に起因して仕事関数が低下し ていると考えられる。他方、C60の HOMO は、膜厚 8 nm までは深い方向へ、20 nm では浅い方向にシフ トした。C60 価電子帯と seco の立ち上がりのエネル ギー、励起光のエネルギーから算出したイオン化工 ネルギー(図 11)が膜厚に応じて増加する傾向を見せ ることから、プッシュバック効果に加え、鏡像効果 [14]により C60の積層に伴いエネルギーの安定化がな されていたと考えられる。先述の効果の弱まる高膜 厚領域においては、φ_{sample} も HOMO も高エネルギー 方向へシフトし始める。このことは、C60層内にお

いて界面から離れるにつれて電子準位全体が浅いエネルギー方向へ変化するバンドの曲がりが生じていることを示唆している。同様の現象は p 型有機半導体分子へ C_{60} を積層した界面においても確認されており、バンドの曲がりの要因となる空間電荷は $PtTe_2$ から C_{60} への電子移動によって生じている可能性がある[15,16]。

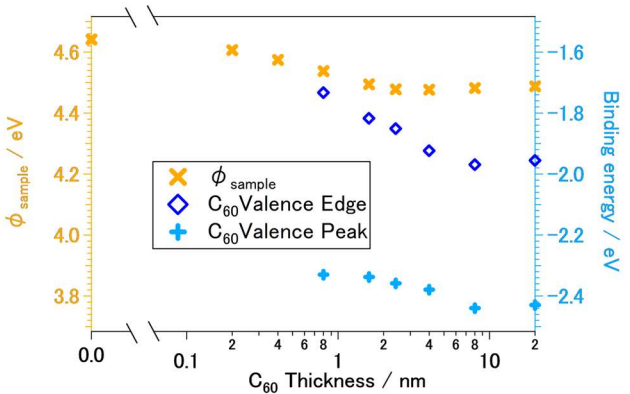


図 10: 仕事関数および C_{60} の価電子帯エネルギーの C_{60} 膜厚依存性

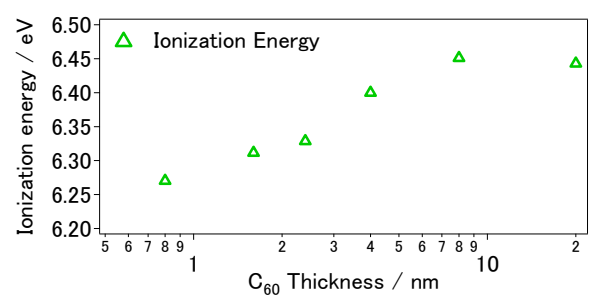


図 11: C_{60} の価電子帯のイオン化エネルギーの C_{60} 膜厚依存性

4 まとめ

本研究では、 $PtTe_2$ 原子層試料について、表面保護のための Te 層の除去条件を LEED および XPS 測定を併用して確認したうえで、調製された $PtTe_2$ 表面上に C_{60} を積層し、その積層界面における電子構造を、UPS 測定を用いて検証した。その結果、膜厚変化に伴う ϕ_{sample} および HOMO のシフトから、 $PtTe_2$ から C_{60} への電子の移動に伴うバンドの曲がりが生じている可能性が示唆された。

謝辞

本研究は、PF-PAC 採択課題(課題番号 2024G573) として実施され、一部は PF-PAC (2021S2-003)、科 研費[23K23323]、分子科学研究奨励森野基金の支援 を受けて実施された。また、放射温度計を貸与いた だいた筑波大学の山田洋一教授および鶴田諒平助教 に感謝申し上げる。

参考文献

[1] Y. Yi et al., Adv. Quantum Technol. 2, 1800111 (2019).

- [2] M. Shrivastava, and V. R. Rao, Nano Lett. 21, 6359 (2021).
- [3] Q. H. Wang et al., Nat. Nanotechnol. 7, 699 (2012).
- [4] K. Ueno et al., Appl. Surf. Sci. 130, 670 (1998).
- [5] A. Koma et al., Microelectron. Eng. 2, 129 (1984).
- [6] M.-K. Lin et al., ACS Nano. 16, 14918 (2022).
- [7] M. P. Seah et al., Surf. Interface Anal. 26, 642 (1998).
- [8] V. Pathirage et al., Appl Surf Sci 644, 158785 (2024).
- [9] M. K. Bahl, J. Phys. Chem. Solids 36, 485 (1975).
- [10] B. V. R. Chowdari et al., J. Non-Cryst. Solids 197, 31 (1996).
- [11] R Nyholm et al., J. Phys. C: Solid State Phys. 13, L1091 (1980).
- [12] J.-W. Hsueh et al., Nat. Commun. 15, 653 (2024).
- [13] H. Ishii et al., Adv. Mater. 11, (8), 605 (1999).
- [14] R. Hesper et al., Europhys. Lett., 40 (2), 177 (1997).
- [15] Y. Nakayama, et al., Adv. Energy Mater. 4 (2014) 1301354.
- [16] Y. Nakayama, et al., e-J. Surf. Sci. Nanotechnol. 23 (2025) 44.

^{*}nkym@rs.tus.ac.jp